

Aula 28 (30/Mar)

Na aula de hoje:

- * Revisão da aula anterior.
- * Evolução temporal dos valores médios.
- * Oscilador Harmônico Clássico 2D.
- * Oscilador Harmônico Quântico 2D.

—————//—————

Revisão da última aula

- * Espectro de energias do OHD em 1D.
- * Auto-estados do OHD 1D.
- * Valores médios e desvios padrões de \hat{X} e \hat{P} .

—————//—————

Capítulo 7: Exemplos de Quantificações Canônicas

(7.1) Oscilador Harmônico Quântico em 1D

7.1.4) Valor médio e desvio padrão de \hat{X} e \hat{P} (cont.)

Como é a evolução dos valores médios?

Se estivermos num estado estacionário sabemos que valores médios serão constantes do movimento.

Mas e se tivermos sobreposição de estados estacionários?

Esperamos que T. Ehrenfest seja obedecido, e estes valores esperados evoluem segundo eqs clássicas.

Consideremos sobreposição de $|\Phi_n\rangle$ em $t=0$

$$|\psi(t=0)\rangle = \sum_{n=0}^{\infty} \underbrace{c_n(t=0)}_{\ll c_n^0} |\Phi_n\rangle$$

que é "análogo" de pacote de ondas.

No instante t teremos

$$|\psi(t)\rangle = \sum_{n=0}^{\infty} c_n^0 \cdot e^{-i E_n t / \hbar} |\Phi_n\rangle$$

$$= \sum_{n=0}^{\infty} c_n^0 \cdot e^{-i\omega(n+1/2)t} |\phi_n\rangle$$

Assim, o valor esperado $\langle X \rangle(t) = \langle \psi(t) | \hat{X} | \psi(t) \rangle$ num instante t será

$$\hat{X} = \sqrt{\frac{\hbar}{2m\omega}} (\hat{Q}^+ + \hat{Q})$$

$$\langle \hat{X} \rangle(t) = \sqrt{\frac{\hbar}{2m\omega}} \sum_{n,m=0}^{\infty} c_m^{0*} c_n^0 \langle \phi_m | e^{i\omega(m-n)t} \cdot (\sqrt{n+1} |\phi_{n+1}\rangle + \sqrt{n} |\phi_{n-1}\rangle)$$

$$= \sqrt{\frac{\hbar}{2m\omega}} \cdot \sum_{n,m=0}^{\infty} c_m^{0*} c_n^0 \cdot e^{i\omega(m-n)t} \left(\sqrt{n+1} \delta_{m,n+1} + \sqrt{n} \cdot \delta_{m,n-1} \right)$$

$$= \sqrt{\frac{\hbar}{2m\omega}} \cdot \sum_{n=0}^{\infty} \left(c_{n+1}^{0*} c_n^0 \cdot e^{i\omega t} \cdot \sqrt{n+1} + \sqrt{n} \cdot c_{n-1}^{0*} c_n^0 e^{-i\omega t} \right)$$

que se definiramos

$$Z \equiv \sum_{n=0}^{\infty} \sqrt{n+1} \cdot c_{n+1}^{0*} \cdot c_n$$

e notamos que

$$Z^* = \sum_{n=0}^{\infty} \sqrt{n+1} \cdot c_{n+1}^0 \cdot c_n^{0*} = \sum_{m=1}^{\infty} \sqrt{m} c_m^0 \cdot c_{m-1}^{0*} \quad \text{com } m=n+1$$

$$= \sum_{m=0}^{\infty} \sqrt{m} c_m^0 c_{m-1}^{0*}$$

que é igual ao segundo termo em cima.

Assim $\langle \hat{x} \rangle(t)$ ficará

$$\langle \hat{x} \rangle(t) = \sqrt{\frac{\hbar}{2m\omega}} \cdot (z \cdot e^{i\omega t} + z^* \cdot e^{-i\omega t})$$

$$z = \sqrt{\frac{m\omega}{2\hbar}} A \cdot e^{i\varphi_0} = A \cdot \frac{e^{i(\omega t + \varphi_0)} + e^{-i(\omega t + \varphi_0)}}{2}$$

$$\Rightarrow \langle \hat{x} \rangle(t) = A \cdot \cos(\omega t + \varphi_0)$$

que é a expressão clássica que tínhamos obtido no início do capítulo.

De forma semelhante podemos mostrar que

$$\langle \hat{p} \rangle(t) = B \cdot \sin(\omega t + \varphi_0)$$

tal como no caso clássico.

Podemos igualizar



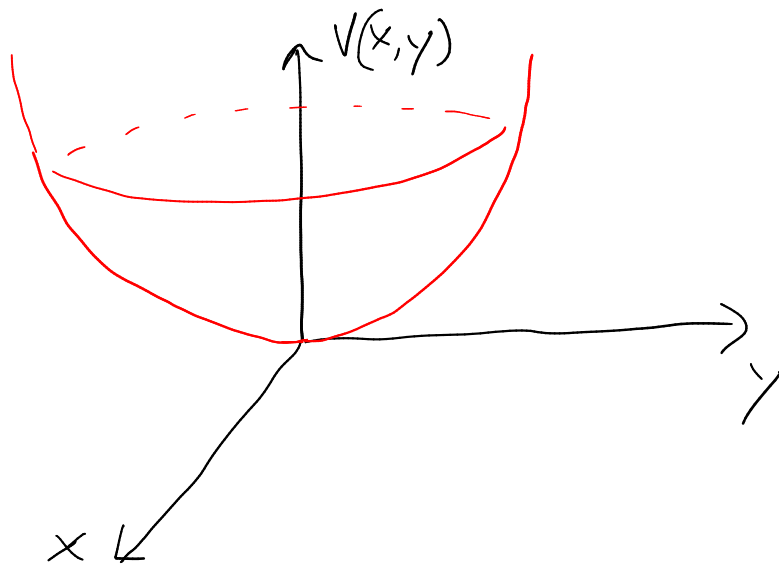
7.2) Oscilador Harmônico Quântico 2D

Este problema permitir-nos-á começar a explorar a importância da simetria no estudo de sistemas quânticos, tema do capítulo 8.

7.2.1) Oscilador Harmônico Clássico 2D

Considere partícula de massa μ num potencial

$$V(x, y) = \frac{\mu \omega^2}{2} (x^2 + y^2)$$



○ Hamiltoniano clássico será

$$H = \frac{P_x^2 + P_y^2}{2m} + \frac{1}{2} m \omega^2 (x^2 + y^2).$$

As eqs de Hamilton

$$\dot{q}_i = \frac{\partial H}{\partial p_i} \quad \text{e} \quad \dot{p}_i = - \frac{\partial H}{\partial q_i}$$

dão-nos eqs do movimento ($i = x, y$)

$$\begin{cases} \dot{x}(t) = \frac{p_x(t)}{m} \\ \dot{p}_x(t) = -m\omega^2 x(t) \end{cases} \quad \begin{cases} \dot{y}(t) = \frac{p_y(t)}{m} \\ \dot{p}_y(t) = -m\omega^2 y(t) \end{cases}$$

que podemos desacoplar diferenciando

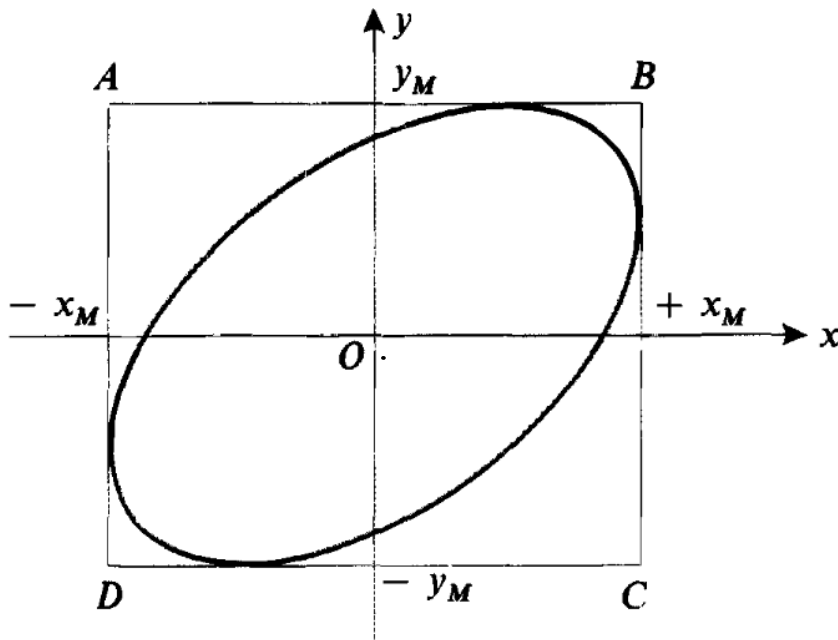
do mais uma vez em relação ao tempo

$$\frac{d^2 x(t)}{dt^2} = -\omega^2 \cdot x(t) \Rightarrow x(t) = x_M \cdot \cos(\omega t + \varphi_x^0)$$
$$\Rightarrow P_x(t) = -m\omega x_M \sin(\omega t + \varphi_x^0)$$

$$\frac{d^2 y(t)}{dt^2} = -\omega^2 \cdot y(t) \Rightarrow y(t) = y_M \cdot \cos(\omega t + \varphi_y^0)$$
$$P_y(t) = -m\omega y_M \sin(\omega t + \varphi_y^0)$$

onde $x_M, \varphi_x^0, y_M, \varphi_y^0$ são determinados pelas condições iniciais.

No plano xOy esta partícula descreverá então órbitas em geral elípticas, que vão ser determinadas pelas constantes x_M, y_M, φ_x^0 e φ_y^0 .



Em geral teremos as seguintes possibilidades para o movimento.

| | |
|------------------------------|---------------------------------------|
| $\phi_y - \phi_x = -\pi$ | movimento linear na direcção $x = -y$ |
| $0 > \phi_y - \phi_x > -\pi$ | movimento retrógrado na elipse |
| $\phi_y - \phi_x = 0$ | movimento linear na direcção $x = y$ |
| $\pi > \phi_y - \phi_x > 0$ | movimento directo na elipse |
| $\phi_y - \phi_x = +\pi$ | movimento linear na direcção $x = -y$ |

Nota: Algumas constantes do movimento são

* Energia total, $E = \frac{\mu\omega^2}{2}(x_{\pi}^2 + y_{\pi}^2)$

* Energia E_x , $E_x = \frac{\mu\omega^2}{2}x_{\pi}^2$

* Energia E_y , $E_y = \frac{\mu\omega^2}{2}y_{\pi}^2$

* Componente z do momento angular orbital:

$$L_z = x p_y - y p_x$$

$$= x_{\pi} \cos(\omega t + \varphi_x^0) \cdot [-\mu\omega y_{\pi} \sin(\omega t + \varphi_y^0)] - y_{\pi} \cos(\omega t + \varphi_y^0) [-\mu\omega x_{\pi} \sin(\omega t + \varphi_x^0)]$$

$$= -\mu\omega x_{II} y_{II} \cos(\omega t + \varphi_x^0) \sin(\omega t + \varphi_y^0) + \mu\omega x_{II} y_{II} \cos(\omega t + \varphi_y^0) \sin(\omega t + \varphi_x^0)$$

$$\left. \begin{aligned} \sin(\alpha \pm \beta) \\ = \sin\alpha \cos\beta \\ \pm \cos\alpha \sin\beta \end{aligned} \right\}$$

$$= \mu\omega x_{II} y_{II} \sin(\omega t + \varphi_x^0 - \omega t - \varphi_y^0)$$

$$\Rightarrow L_z = \mu\omega x_{II} y_{II} \sin(\varphi_x^0 - \varphi_y^0)$$

↳ são tudo constantes \square

$\Rightarrow L_z$ const de movimento.

7.2.2) Oscilador Harmônico Quântico em 2D usando quânticos lineares

Começamos por quantizar o oscilador
como clássico,

$$H \longrightarrow \hat{H} = \frac{\hat{p}_x^2 + \hat{p}_y^2}{2\mu} + \frac{\mu\omega^2}{2}(\hat{x}^2 + \hat{y}^2)$$

onde \hat{x} e \hat{y} são observáveis associados
às quantidades físicas x , e y , sendo
 \hat{p}_x e \hat{p}_y os seus momentos canônicos
conjugados.

As relações comutação são

$$[\hat{X}_i, \hat{P}_j] = i\hbar \delta_{ij} \hat{1}$$

onde $\hat{X}_i = (\hat{X}, \hat{Y})$ e $\hat{P}_i = (\hat{P}_x, \hat{P}_y)$.

Podemos notar que

$$\hat{H} = \hat{H}_x + \hat{H}_y$$

ou seja, temos duas cópias do OHA em 1D, visto (7.1).

Podemos definir op. criação e destruição na direcção x e y

$$\hat{Q}_x = \frac{1}{\sqrt{2}} \left(\sqrt{\frac{m\omega}{\hbar}} \hat{X} + \frac{i}{\sqrt{m\omega\hbar}} \hat{P}_x \right)$$

$$\hat{Q}_x^+ = \frac{1}{\sqrt{2}} \left(\sqrt{\frac{m\omega}{\hbar}} \hat{X} - \frac{i}{\sqrt{m\omega\hbar}} \hat{P}_x \right)$$

$$\hat{Q}_y = \frac{1}{\sqrt{2}} \left(\sqrt{\frac{m\omega}{\hbar}} \hat{Y} + \frac{i}{\sqrt{m\omega\hbar}} \hat{P}_y \right)$$

$$\hat{Q}_y^+ = \frac{1}{\sqrt{2}} \left(\sqrt{\frac{m\omega}{\hbar}} \hat{Y} - \frac{i}{\sqrt{m\omega\hbar}} \hat{P}_y \right)$$

Podemos verificar que

$$[\hat{Q}_x, \hat{Q}_x^+] = 1 = [\hat{Q}_y, \hat{Q}_y^+]$$

$$[\hat{Q}_x, \hat{Q}_y] = [\hat{Q}_x, \hat{Q}_y^+] = \dots = 0$$

e definir os operadores número

$$\hat{N}_x = \hat{Q}_x^+ \hat{Q}_x$$

$$\hat{N}_y = \hat{Q}_y^+ \hat{Q}_y$$

de tal modo que o hamiltoniano pode ser escrito como

$$\hat{H} = \hbar\omega (\hat{N}_x + \hat{N}_y + \hat{1})$$

É claro ^{que} podemos escolher C.C.O.C. = $\{\hat{n}_x, \hat{n}_y\}$
e usar base de estados dada pelo pro-
duto tensorial $\{|\phi_{n_x}\rangle \otimes |\phi_{n_y}\rangle\}$,

$$\hat{H}_x |\phi_{n_x} \phi_{n_y}\rangle = E_{n_x} |\phi_{n_x} \phi_{n_y}\rangle$$

$$\hat{H}_y |\phi_{n_x} \phi_{n_y}\rangle = E_{n_y} |\phi_{n_x} \phi_{n_y}\rangle$$

onde $|\phi_{n_x} \phi_{n_y}\rangle = |\phi_{n_x}\rangle \otimes |\phi_{n_y}\rangle$ sendo

$$E_{n_x} = \hbar \omega \left(n_x + \frac{1}{2} \right)$$

$$E_{n_y} = \hbar \omega \left(n_y + \frac{1}{2} \right)$$

Assim, as auto-energias de
 $\hat{H} = \hat{H}_x + \hat{H}_y$ serão

$$\boxed{E_{(n_x, n_y)} = \hbar \omega (n_x + n_y + 1)}$$

sendo que os auto-estados corretamente normalizados serão dados por

$$|\Phi_{n_x, n_y}\rangle = \frac{1}{\sqrt{n_x! n_y!}} (\hat{a}_x^+)^{n_x} (\hat{a}_y^+)^{n_y} |\Phi_0 \Phi_0\rangle$$

Nota: Agora o espectro de \hat{H} será degenerado.

$$E_{(0,0)} = \hbar \omega \quad \rightarrow \text{não-deg.}$$

$$E_{(1,0)} = E_{(0,1)} = 2\hbar \omega \quad \rightarrow \text{deg. 2.}$$

$$E_{(2,0)} = E_{(0,2)} = E_{(1,1)} = 3\hbar \omega \quad \rightarrow \text{deg. 3.}$$

\vdots

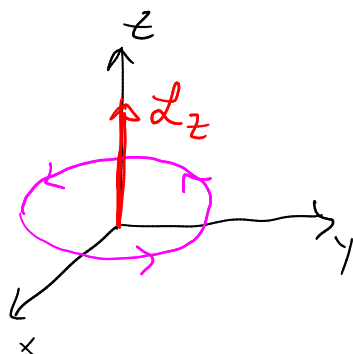
Nota: O conjunto $\{\hat{H}\}$ não é CCOC, pois tem degenerescência em energia. Mas $\{\hat{H}, \hat{H}_x\}$ ou $\{\hat{H}, \hat{H}_y\}$ são CCOC, assim com $\{\hat{N}_x, \hat{N}_y\}$.

7.2.3) Oscilador Harmônico Quântico em 2D usando quantões circulares

Como o potencial é invariante por rotações em torno do eixo Oz ,

$$R_{O_z}(\theta) \cdot V(\vec{r}) = V(\vec{r})$$

e como vimos na versão clássica deste problema que o componente z do momento angular é constante do movimento (L_z está associado às rotações em torno do eixo Oz),



Vamos então olhar para o operador de momento angular orbital ao longo de \vec{e}_z :

$$\hat{L}_z = \hat{X}\hat{P}_y - \hat{Y}\hat{P}_x,$$

que podemos escrever em termos de op. criação e destruição

$$\hat{X}_i = \sqrt{\frac{\hbar}{2m\omega}} (\hat{Q}_i^+ + \hat{Q}_i),$$

$$\hat{P}_i = i \sqrt{\frac{m\omega\hbar}{2}} (\hat{Q}_i^+ - \hat{Q}_i),$$

então \hat{L}_z ficará

$$\hat{L}_z = i \frac{\hbar}{2} \left[(\hat{Q}_x^+ + \hat{Q}_x)(\hat{Q}_y^+ - \hat{Q}_y) - (\hat{Q}_y^+ + \hat{Q}_y)(\hat{Q}_x^+ - \hat{Q}_x) \right]$$

$$= i \frac{\hbar}{2} \left[\cancel{\hat{Q}_x^+ \hat{Q}_y^+} - \hat{Q}_x^+ \hat{Q}_y + \hat{Q}_x \hat{Q}_y^+ - \cancel{\hat{Q}_x \hat{Q}_y} - \cancel{\hat{Q}_y^+ \hat{Q}_x^+} + \right. \\ \left. + \hat{Q}_y^+ \hat{Q}_x - \hat{Q}_y \hat{Q}_x^+ + \cancel{\hat{Q}_y \hat{Q}_x} \right]$$

$$\Rightarrow \hat{L}_z = i \hbar [\hat{Q}_x \hat{Q}_y^+ - \hat{Q}_x^+ \hat{Q}_y]$$

Podemos então mostrar que $[\hat{H}, \hat{L}_z] = 0$ e assim $\{\hat{H}, \hat{L}_z\}$ formam CCOC.

$$[\hat{H}, \hat{L}_z] = \hbar\omega i\hbar [\hat{a}_x^+ \hat{a}_x + \hat{a}_y^+ \hat{a}_y + \mathbb{1}, \hat{a}_x \hat{a}_y^+ - \hat{a}_x^+ \hat{a}_y]$$

$$= i\hbar^2\omega \left([\hat{a}_x^+ \hat{a}_x, \hat{a}_x \hat{a}_y^+ - \hat{a}_x^+ \hat{a}_y] + [\hat{a}_y^+ \hat{a}_y, \hat{a}_x \hat{a}_y^+ - \hat{a}_x^+ \hat{a}_y] \right)$$

$$[\hat{a}_x^+ \hat{a}_x, \hat{a}_x \hat{a}_y^+ - \hat{a}_x^+ \hat{a}_y] = [\hat{a}_x^+ \hat{a}_x, \hat{a}_x \hat{a}_y^+] - [\hat{a}_x^+ \hat{a}_x, \hat{a}_x^+ \hat{a}_y]$$

$$= (\hat{a}_x^+ \hat{a}_x \hat{a}_x - \hat{a}_x \hat{a}_x^+ \hat{a}_x) \hat{a}_y^+ - (\hat{a}_x^+ \hat{a}_x \hat{a}_x^+ - \hat{a}_x^+ \hat{a}_x^+ \hat{a}_x) \hat{a}_y$$

$$= \overbrace{[\hat{a}_x^+, \hat{a}_x]} = -\mathbb{1} \hat{a}_x \hat{a}_y^+ - \hat{a}_x^+ \overbrace{[\hat{a}_x, \hat{a}_x^+]} = \mathbb{1} \hat{a}_y$$

$$= -\hat{a}_x \hat{a}_y^+ - \hat{a}_x^+ \hat{a}_y$$

$$[\hat{a}_y^+ \hat{a}_y, \hat{a}_x \hat{a}_y^+ - \hat{a}_x^+ \hat{a}_y] = \dots = \hat{a}_y^+ \hat{a}_x + \hat{a}_y \hat{a}_x^+$$

Teremos então

$$[\hat{H}, \hat{L}_z] = i\hbar^2\omega (-\cancel{\hat{a}_x \hat{a}_y^+} - \cancel{\hat{a}_x^+ \hat{a}_y} + \cancel{\hat{a}_y^+ \hat{a}_x} + \cancel{\hat{a}_y \hat{a}_x^+})$$

$$= 0 \quad \square$$

Vamos então trabalhar com o CCOE $\{\hat{H}, \hat{L}_z\}$. Vamos introduzir novos operadores

de criação e destruição de "quântos
circulares" :

$$\hat{Q}_d \equiv \frac{1}{\sqrt{2}} (\hat{Q}_x - i \hat{Q}_y)$$

$$\hat{Q}_d^+ \equiv \frac{1}{\sqrt{2}} (\hat{Q}_x^+ + i \hat{Q}_y^+)$$

$$\hat{Q}_e \equiv \frac{1}{\sqrt{2}} (\hat{Q}_x + i \hat{Q}_y)$$

$$\hat{Q}_e^+ \equiv \frac{1}{\sqrt{2}} (\hat{Q}_x^+ - i \hat{Q}_y^+)$$

Podemos facilmente mostrar relações
comutação são

$$[\hat{Q}_d, \hat{Q}_d^+] = \hat{1} = [\hat{Q}_e, \hat{Q}_e^+],$$

sendo todos os outros comutadores
zero.

Notando que os operadores número
 \hat{N}_d e \hat{N}_e têm por

$$\hat{N}_d \equiv \hat{Q}_d^+ \hat{Q}_d = \frac{1}{2} (a_x^+ a_x + a_y^+ a_y - i a_x^+ a_y + i a_y^+ a_x)$$

$$\hat{N}_e \equiv \hat{Q}_e^+ \hat{Q}_e = \frac{1}{2} (a_x^+ a_x + a_y^+ a_y + i a_x^+ a_y - i a_y^+ a_x)$$

podemos então escrever

$$\hat{H} = \hbar \omega (\hat{N}_d + \hat{N}_e + \hat{1})$$

$$\hat{L}_z = \hbar (\hat{N}_d - \hat{N}_e)$$

Como $[\hat{N}_d, \hat{N}_e] = 0$ eles também comutam CCOC, e assim podemos rotular a nossa base como $\{|n_e, n_d\rangle\}$.

Em tal caso podemos escrever os espectros \hat{H} e \hat{L}_z como

$$E_{(n_e, n_d)} = \hbar \omega (n_e + n_d + 1) \equiv \hbar \omega (n + 1)$$

$$L_{z(n_e, n_d)} = \hbar (n_d - n_e) \equiv \hbar m$$

onde introduzimos dois novos números quânticos

$$m \equiv m_l + m_s,$$

$$m \equiv m_l - m_s,$$

identificando, respectivamente, os auto-estados de \hat{H} e de \hat{L}_z .

Interpretação de \hat{Q}_e^+ e \hat{Q}_d^+ :

Assim, o operador \hat{Q}_d^+ (ou \hat{Q}_e^+) adiciona ao sistema um quantão de energia, $\hbar\omega$, bem como adiciona um quantão de momento angular \hbar no sentido directo (ou no sentido inverso).

$$n = 1 , \quad \left\{ \begin{array}{ll} m = 1 , & \Phi_{(n_e=0, n_d=1)}(\rho, \phi) = \frac{\omega\mu}{\sqrt{\pi\hbar}} e^{i\phi} \rho e^{-\frac{\mu\omega}{2\hbar} \rho^2} , \\ m = -1 , & \Phi_{(n_e=1, n_d=0)}(\rho, \phi) = \frac{\omega\mu}{\sqrt{\pi\hbar}} e^{-i\phi} \rho e^{-\frac{\mu\omega}{2\hbar} \rho^2} , \end{array} \right.$$

$$n = 2 , \quad \left\{ \begin{array}{ll} m = 2 , & \Phi_{(n_e=0, n_d=2)}(\rho, \phi) = \left(\frac{\omega\mu}{\hbar}\right)^{3/2} e^{2i\phi} \frac{\rho^2}{\sqrt{2\pi}} e^{-\frac{\mu\omega}{2\hbar} \rho^2} , \\ m = 0 , & \Phi_{(n_e=1, n_d=1)}(\rho, \phi) = \sqrt{\frac{\omega\mu}{\pi\hbar}} \left[\frac{\omega\mu}{\hbar} \rho^2 - 1 \right] e^{-\frac{\mu\omega}{2\hbar} \rho^2} , \\ m = -2 , & \Phi_{(n_e=2, n_d=0)}(\rho, \phi) = \left(\frac{\omega\mu}{\hbar}\right)^{3/2} e^{-2i\phi} \frac{\rho^2}{\sqrt{2\pi}} e^{-\frac{\mu\omega}{2\hbar} \rho^2} . \end{array} \right.$$

